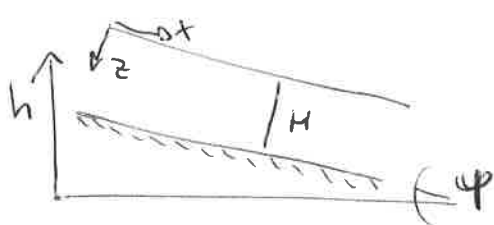


DIMOSTRAZIONI MOTO

MOTO ASSISTIMENTO + SCORRIMENTO
ipotesi: moto permanente e uniforme



$$\begin{cases} \frac{\partial}{\partial t} = \frac{\partial}{\partial x} = 0 \\ U = f(z) \end{cases}$$

fluido compressibile $\frac{\partial U_i}{\partial x_i} = \frac{\partial U_z}{\partial z}$

$$t_{ij} = \lambda \frac{\partial U_i}{\partial x_j} \delta_{ij} + 2\mu D_{ij} \quad (\text{con } \delta=0 \text{ se } i \neq j, \delta=1 \text{ se } i=j)$$

$$t = \begin{bmatrix} \lambda \frac{\partial U_z}{\partial z} & \mu \frac{\partial U_x}{\partial z} \\ \mu \frac{\partial U_x}{\partial z} & (\lambda+2\mu) \frac{\partial U_z}{\partial z} \end{bmatrix} \quad \begin{array}{l} \text{tensori} \\ \text{delle Tensioni} \end{array}$$

EQUAZIONE DEL MOTO: $\frac{\partial}{\partial t} (\rho U_i) + \frac{\partial}{\partial x_j} (\rho U_i U_j) = - \rho g \frac{\partial h}{\partial x_i} + \frac{\partial}{\partial x_i} t_{ji}$

per $\frac{\partial}{\partial t} (\rho U_i) = \frac{\partial}{\partial x_j} (\rho U_i U_j) = 0$ si ha

$$\begin{cases} 0 = - \rho g \frac{\partial h}{\partial x} + \cancel{\frac{\partial}{\partial x} t_{xx}} + \cancel{\frac{\partial}{\partial z} t_{xz}} \\ 0 = - \rho g \frac{\partial h}{\partial z} + \cancel{\frac{\partial}{\partial x} t_{zx}} + \frac{\partial}{\partial z} t_{zz} \end{cases}$$

$$\begin{array}{l} \text{con } \frac{\partial h}{\partial x} = - \sin \psi \\ \text{e } \frac{\partial h}{\partial z} = - \cos \psi \end{array}$$

$$\begin{cases} \rho g \sin \psi + \frac{\partial}{\partial z} t_{xz} = 0 & \text{bilancio} \\ \rho g \cos \psi + \frac{\partial}{\partial z} t_{zz} = 0 & \text{dinamico di forze} \end{cases}$$

integrazione in $\mathcal{L} \approx z$ variabile verticale

$$\int_0^z \rho(\mathcal{L}) g \sin \psi d\mathcal{L} + \int_0^z \frac{\partial t_{xz}}{\partial z} d\mathcal{L} = 0$$

$$\int_0^z \rho(\mathcal{L}) g \cos \psi d\mathcal{L} + \int_0^z \frac{\partial t_{zz}}{\partial z} d\mathcal{L} = 0$$

$$\text{con } \bar{P}(z) = \int_0^z \rho(\mathcal{L}) d\mathcal{L}$$

$$\Rightarrow \begin{cases} t_{xz}(z) = - g \sin \psi \bar{P}(z) \cdot z = \mu \frac{\partial U_x}{\partial z} \\ t_{zz}(z) = - g \cos \psi \bar{P}(z) \cdot z = (\lambda + 2\mu) \frac{\partial U_z}{\partial z} \end{cases}$$

integrazione delle tensioni in L verticale (da H a z)

$$\int_H^z \mu \frac{\partial U_x}{\partial z} dz = \int_H^z -g \sin \psi \bar{P} L dz$$

$$U_x(z) = \frac{g \sin \psi}{\mu} \bar{P} \left(\frac{H^2 - z^2}{2} \right) \quad \text{velocità direzione } \hat{x}$$

$$\int_H^z (\lambda + 2\mu) \frac{\partial U_z}{\partial z} dz = \int_H^z -g \cos \psi \bar{P} L dz$$

$$U_z(z) = \frac{g \cos \psi}{\lambda + 2\mu} \bar{P} \left(\frac{H^2 - z^2}{2} \right) \quad \text{velocità direzione } \hat{z}$$

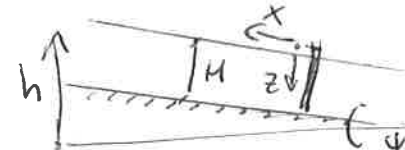
MOTO PREVALENTE SLITAMENTO con peravelanghe

ipotesi: Velocità costante in \hat{z} , $\frac{\partial U_z}{\partial z} = 0$; parete liscia;

moto permanente di lento scorrimento; H indipendente da \hat{x} .

velocità di deformazione

$$\mathcal{D} = \begin{bmatrix} \frac{\partial U_x}{\partial x} & 0 \\ 0 & \frac{\partial U_z}{\partial x} \end{bmatrix}$$



$$t_{ij} = \lambda \frac{\partial U_i}{\partial x_j} \delta_{ij} + 2\mu D_{ij} \quad \text{tensori delle tensioni}$$

$$t = \begin{bmatrix} (\lambda + 2\mu) \frac{\partial U_x}{\partial x} + \lambda \frac{\partial U_z}{\partial z} & t_0 \\ t_0 & (\lambda + 2\mu) \frac{\partial U_z}{\partial z} + \lambda \frac{\partial U_x}{\partial x} \end{bmatrix}$$

dell'equazione del moto

$$\left\{ \begin{array}{l} 0 = +pg \sin \psi + \frac{\partial}{\partial x} t_{xx} + \frac{\partial}{\partial z} t_{xz} \end{array} \right.$$

$$\left\{ \begin{array}{l} 0 = +pg \cos \psi + \frac{\partial}{\partial z} t_{zz} + \cancel{\frac{\partial t_{xz}}{\partial x}} \end{array} \right. \rightarrow \text{integrate nelle profondità } z$$

$$\left\{ \begin{array}{l} t_{zz}(z) = -g \cos \psi \bar{P}(z) \cdot z = (\lambda + 2\mu) \frac{\partial U_z}{\partial z} + \lambda \frac{\partial U_x}{\partial x} \end{array} \right. \rightarrow \text{teorema}$$

$$\left\{ \begin{array}{l} t_{xx}(z) = (\lambda + 2\mu) \frac{\partial U_x}{\partial x} + \frac{\lambda}{\lambda + 2\mu} \left[t_{zz} - \lambda \frac{\partial U_x}{\partial x} \right] \end{array} \right.$$

elaborando t_{xx} :

$$t_{xx}(z) = (\lambda + 2\mu) \frac{\partial U_x}{\partial x} + \frac{\lambda}{\lambda + 2\mu} t_{zz} - \frac{\lambda^2}{\lambda + 2\mu} \frac{\partial U_x}{\partial x}$$
$$+ \left[\lambda + 2\mu - \frac{\lambda^2}{\lambda + 2\mu} \right] \frac{\partial U_x}{\partial x} + \frac{\lambda}{\lambda + 2\mu} \cancel{t_{zz}}$$
$$\frac{2\mu}{1-\nu} \quad \frac{\nu}{1-\nu}$$

definito

$$\frac{\lambda}{\mu} = \frac{\nu}{1-2\nu}$$

quindi $t_{xx}(z) = \frac{2\mu}{1-\nu} \frac{\partial U_x}{\partial x} + \frac{\nu}{1-\nu} t_{zz}$

→ le prime equazioni del sistema integrate in \hat{z}

$$- \int_0^H \bar{p} g \sin \psi dz + \int_0^H \frac{\partial t_{xx}}{\partial x} dz + \int_0^H \frac{\partial t_{xz}}{\partial z} dz = 0$$

$$\rightarrow T_0 = \bar{p} g \sin \psi H + \cancel{\text{termine}} \quad \left(\frac{\partial}{\partial x} \int_0^H t_{xx} dz \right) H \frac{\partial}{\partial x} \bar{t}_{xx}$$

allora si integra nell'altezza

$$\bar{t}_{xx} = \frac{1}{H} \int_0^H \frac{2\mu}{1-\nu} \frac{\partial U_x}{\partial x} dz + \frac{1}{H} \int_0^H \frac{\nu}{1-\nu} t_{zz} dz$$
$$\downarrow \quad \begin{aligned} & \frac{1}{H} \frac{2M}{1-\nu} \frac{\partial}{\partial x} (U_0(x)H) \\ & \quad \boxed{E} \end{aligned} \quad \begin{aligned} & - \frac{\nu}{1-\nu} \bar{p}(H) g \cos \psi \frac{H}{2} \\ & \quad \boxed{P_0} \quad \text{pressione statica} \end{aligned}$$

$$\bar{t}_{xx} = E \frac{\partial U_0(x)}{\partial x} H - P_0$$

quindi sostituendo nell'equazione T_0 , si ha la differenziale nelle velocità di II grado:

$$M \frac{\partial^2 U_0}{\partial x^2} = \bar{p} g H \sin \psi - T_0$$

per cui $\bar{T}_0 = - \frac{M}{S} U_0 = - K U_0$

$$\frac{\partial^2 U_0}{\partial x^2} = \bar{p} g \frac{\sin \psi}{E} + \frac{K U_0}{M E}$$

la soluzione è

$$U_0(x) = C \cdot \exp \left[- \sqrt{\frac{K}{M E}} x \right] - \frac{\bar{p} g \sin \psi H}{K}$$

Condizione al
contorno ($x=0, U_0=0$)

$$C = \frac{\bar{p} g \sin \psi H}{K}$$

$$\Rightarrow U_0(x) = - \frac{\bar{p} g \sin \psi H}{K} \left[1 - \exp \left(- \sqrt{\frac{K}{M E}} x \right) \right]$$

Per le spinte, calcolo la tensione in x .

$$\bar{t}_{xx}|_{x=0} = E \frac{\partial u_0}{\partial x} - p_0 \quad \text{sulla parete del peravelo}$$

mentre $\frac{\partial u_0}{\partial x}|_0 = - \frac{\bar{p}g \sin \psi H}{K} \sqrt{\frac{K}{HE}}$

$$\Rightarrow \bar{t}_{xx}|_0 = -HE \frac{\bar{p}g \sin \psi}{K} \sqrt{\frac{K}{EH}} - \frac{\nu}{1-\nu} \bar{p}g \cos \psi \frac{H}{2}$$
$$+ -\bar{p}g \sin \psi H \sqrt{\frac{2}{1-\nu} \frac{D}{H}} - \frac{\nu}{1-\nu} \bar{p}g \cos \psi \frac{H}{2}$$

quindi le spinte è $S = \bar{t}_{xx}|_0 \cdot H$

$$S = -\bar{p}g \sin \psi H^2 \sqrt{\frac{2}{1-\nu} \frac{D}{H}} - \frac{\nu}{1-\nu} \bar{p}g \cos \psi \frac{H^2}{2}$$

(*) CON SLITTIMENTO + SCORRIMENTO con $T = -K' U(x)$

~~$$S = H \frac{\partial \bar{t}_{xx}}{\partial x} = H \bar{p}g \sin \psi - T_0'$$~~

$$\hookrightarrow u_0 = - \frac{\bar{p}g H \sin \psi}{K'} \left[1 - \exp \left(- \sqrt{\frac{K'}{HE}} x \right) \right]$$

quindi $\bar{t}_{xx}|_0 = -E \frac{\bar{p}g H \sin \psi}{K'} H \sqrt{\frac{K'}{HE}} - p_0$

$$\downarrow -\bar{p}g \sin \psi \frac{H}{2} \sqrt{\frac{2}{1-\nu} \left(\frac{D}{H} + \frac{1}{2} \right)} - \frac{\nu}{1-\nu} \bar{p}g \cos \psi \frac{H}{2}$$

le spinte risulta

$$S = -\bar{p}g \sin \psi \frac{H^2}{2} \sqrt{\frac{2}{1-\nu} \left(\frac{D}{H} + \frac{1}{2} \right)} - \frac{\nu}{1-\nu} \bar{p}g \cos \psi \frac{H^2}{2}$$

MODELLO PCM (Perle, Cheng, McClung)

APPROCCIO A CORPO RIGIDO → centro di massa $m(t)$
 lungo la traiettoria s $\frac{D}{Dt}(M\vec{v}) = \sum \vec{F}_{est}$ [quantità di moto]

I termine: assumere $\frac{\partial}{\partial t} \ll \frac{\partial}{\partial s}$

$$U_s \frac{\partial}{\partial s}(M \cdot U_s) = U^2 \frac{\partial M}{\partial s} + M \frac{\partial U^2}{\partial s}$$

II termine: peso + resistenze mob + turbolenza + plugh

$$\vec{F}_{est} = Mg \sin \varphi - Mg \cos \varphi \tan \varphi - M \frac{U^2}{R} \tan \varphi - Ku^2$$

$$\Rightarrow U^2 \frac{\partial M}{\partial s} + M \frac{\partial}{\partial s}\left(\frac{U^2}{2}\right) = Mg \sin \varphi - [Mg \cos \varphi \tan \varphi + M \frac{U^2}{R} \tan \varphi + Ku^2]$$

$$M \frac{\partial}{\partial s}\left(\frac{U^2}{2}\right) = Mg [\sin \varphi - \cos \varphi \tan \varphi] - U^2 \left[\frac{\partial M}{\partial s} + \frac{M}{R} \tan \varphi + k \right]$$

$$\text{forza di drag } D = \frac{\partial M}{\partial s} + \frac{M}{R} \tan \varphi + k$$

$$\frac{\partial}{\partial s}\left(\frac{U^2}{2}\right) = g [\sin \varphi - \cos \varphi \tan \varphi] - \frac{U^2}{M} D$$

* si analizza ogni i-esimo tratto con

$$\alpha_i = g (\sin \varphi_i - \cos \varphi_i \tan \varphi_i)$$

$$\boxed{\frac{\partial}{\partial s}\left(\frac{U^2}{2}\right) = \alpha_i - \frac{U_i^2}{(M/D)};}$$

dove $\frac{M}{D}$ = parametro dell'i-esimo tratto

$$\text{Sostituisco } Y_i = \frac{U_i^2}{2}, \text{ otengo } \frac{\partial}{\partial s} Y_i = \alpha_i - \frac{2 Y_i}{(M/D)}; \quad \text{eq. differenz. non omog.}$$

→ soluz. omogenee

$$Y_{i0} = C e^{-\lambda_i s} \quad \text{quindi } -\lambda_i C e^{-\lambda_i s} = \cancel{-} - \frac{2}{(M/D)} C e^{-\lambda_i s}$$

$$\text{allora } \lambda_i = \frac{2}{(M/D)};$$

$$\rightarrow Y_{i0} = C e^{-\frac{2}{(M/D)} s}$$

→ soluzione particolare

$$\sim Y_{ip} = \frac{\alpha_i}{2} \left(\frac{M}{D}\right)_i$$

$$\Rightarrow \text{soluzione totale } Y_i = Y_{i0} + Y_{ip} = C e^{-\frac{2}{(M/D)_i} s} + \frac{\alpha_i}{2} \left(\frac{M}{D}\right)_i$$

con la variazione di velocità $y_i = \frac{v_i^2}{2}$

$$\frac{v_i^2}{2} = C e^{-\frac{2}{(M/D)_i} s} + \frac{\alpha_i}{2} \left(\frac{M}{D}\right)_i$$

$\sim C$ si trova con le condizioni al contorno

nel punto di partenza (A) $s=0$ con $v_{Ai}=0$ (immesco)

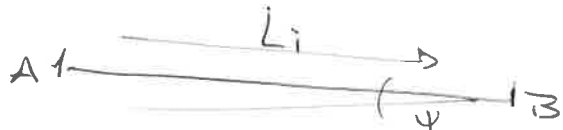
$$\frac{v_{Ai}^2}{2} = 0 = C e^{-\frac{2}{(M/D)_i} \cdot 0} + \frac{\alpha_i}{2} \left(\frac{M}{D}\right)_i = C + \frac{\alpha_i}{2} \left(\frac{M}{D}\right)_i$$

quindi $C = \frac{v_{Ai}^2}{2} - \frac{\alpha_i}{2} \left(\frac{M}{D}\right)_i$

$$\frac{v_i^2}{2} = \left[\frac{v_{Ai}^2}{2} - \frac{\alpha_i}{2} \left(\frac{M}{D}\right)_i \right] e^{-\frac{2}{(M/D)_i} s} + \frac{\alpha_i}{2} \left(\frac{M}{D}\right)_i$$

$$\Rightarrow \text{legge della velocità } U_i(s) = \left[\left[v_{Ai}^2 - \alpha_i \left(\frac{M}{D}\right)_i \right] e^{-\frac{2}{(M/D)_i} s} + \alpha_i \left(\frac{M}{D}\right)_i \right]^{1/2}$$

ipotizzando un tratto i-esimo



da A a B lungo L_i

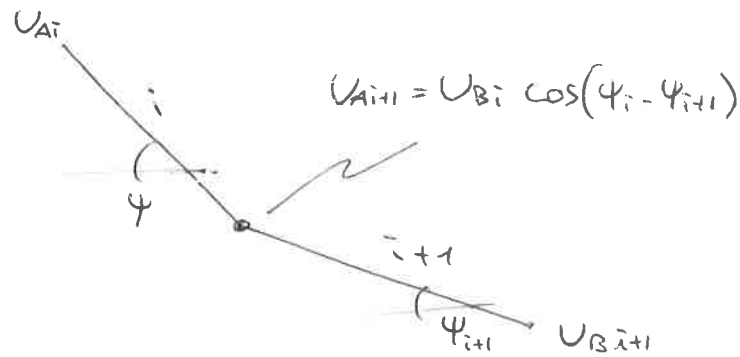
la velocità in B è $(s \rightarrow L_i)$

$$U_{Bi} = \left[\left[v_{Ai}^2 - \alpha_i \left(\frac{M}{D}\right)_i \right] e^{-\frac{2L_i}{(M/D)_i}} + \alpha_i \left(\frac{M}{D}\right)_i \right]^{1/2}$$

parametrizzando $\beta_i = -\frac{2L_i}{(M/D)_i}$ (esponente)

$$U_{Bi} = \left[\left[v_{Ai}^2 e^{\beta_i} + \left(\frac{M}{D}\right)_i \alpha_i [1 - e^{\beta_i}] \right]^{1/2}$$

considerando due tratti consecutivi con diverse pendenze



PUNTO D'ARRESTO con $V_B=0$, la velocità si riduce in maniera esponenziale $\sim e^{-\frac{2S}{(M/D)_i}}$

α_i : unico parametro che cambia di segno $= g(\sin \varphi_i - \cos \varphi_i \tan \varphi_i)$

la condizione per $V_i=0$ è $\alpha_i=0 = g(\sin \varphi_i - \cos \varphi_i \tan \varphi_i)$

$$\text{quindi } \sin \varphi_i = \cos \varphi_i \tan \varphi_i \rightarrow \boxed{\tan \varphi_i = \tan \circ \varphi_i}$$

imponendo $V(s)=0$ si trova S di arresto

$$V_i(s)=0 = \left[\left(V_{Ai}^2 - \alpha_i \left(\frac{M}{D} \right)_i \right) e^{-\frac{2S}{(M/D)_i}} + \left(\frac{M}{D} \right)_i \alpha_i \right]^{1/2}$$

$$\left(V_{Ai}^2 - \alpha_i \left(\frac{M}{D} \right)_i \right) e^{-\frac{2S}{(M/D)_i}} = - \left(\frac{M}{D} \right)_i \alpha_i$$

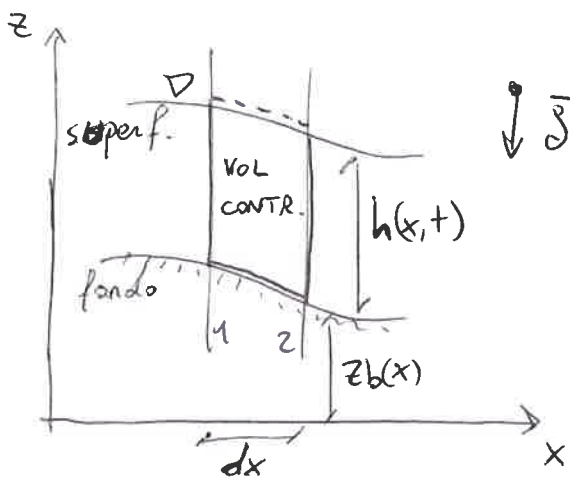
$$\frac{2S}{(M/D)_i} = - \ln \left[- \frac{\left(\frac{M}{D} \right)_i \alpha_i}{V_{Ai}^2 - \alpha_i \left(\frac{M}{D} \right)_i} \right]$$

$$\boxed{S = \frac{1}{2} \left(\frac{M}{D} \right)_i \ln \left[1 - \frac{V_{Ai}^2}{\left(\frac{M}{D} \right)_i \alpha_i} \right]} \quad \text{punto di arresto nel Tretto i}$$

(sperimentalmente $10^2 < \frac{M}{D} < 10^4$)

MODELLO VÖLLMY

APPROCCIO A FLUIDO CONTINUO → visione euleriana



densità $\rho(x, z, t)$

velocità $\vec{U}(x, z, t) = \vec{U}_x + \vec{U}_z$

volume di controllo trasla
verso \hat{x} ed è mobile in \hat{z}
sulla superficie

↳ ipotesi shallow flow con
velocità media sulla verticale

conservazione MASSA

$$\frac{\partial}{\partial t} \int_V \rho dV = 0 \quad \text{densità è media sulla verticale}$$

$$\left[\frac{\partial}{\partial t} (\rho h) + \frac{\partial}{\partial x} (\rho u_x h) \right] dx = 0$$

$$\frac{\partial}{\partial t} (\rho h) + \frac{\partial}{\partial x} (\rho u_x h) = 0$$

conservazione QUANTITÀ DI MOTTO

$$\frac{\partial}{\partial t} \int_V (\rho \vec{U}_x) dV = \sum \vec{F}_{\text{est}}$$

$$\left[\frac{\partial}{\partial t} (\rho U_x h) + \frac{\partial}{\partial x} (\rho U_x U_x h \alpha_{pu}) \right] dx = \sum \vec{F}_{\text{est}}|_x$$

le forze esterne sono:

- peso volume
- pressione monte e valle
- tensione al fondo

$$\frac{\partial}{\partial t} (U_x h) + \frac{\partial}{\partial x} (U_x^2 h) = gh \sin \psi - \frac{\partial P}{\partial x} \frac{1}{\rho} - \frac{T_o}{\rho}$$

chiusura della tensione

$$\begin{cases} T_o = \gamma h \cos \psi \tan \varphi + \frac{\gamma}{\xi} U^2 \\ T_o = \gamma h \sin \psi \end{cases}$$

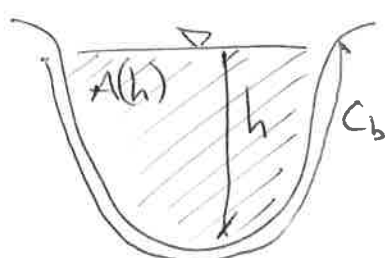
$$U = \sqrt{\xi h (\sin \psi - \cos \psi \tan \varphi)}$$

con ξ = coeff. correttivo di Chézy

U dipende da h e dagli angoli ψ e φ .

Il torrente h dipende da h_0 (distanza) e del tipo di neve
 $h \approx 1 \div 5 h_0$.

Per velocità incalzante, ipotesi del corso d'acqua



$$\frac{\partial}{\partial t}(\rho U A) + \frac{\partial}{\partial x}(\rho U^2 A) = \gamma A \sin \psi - \frac{\partial P}{\partial x} - \bar{T}_0 \cdot C_b$$

ipotesi di moto permanente uniforme

I relazione: $0 = \gamma A \sin \psi - \bar{T}_0 \cdot C_b$

II relazione: $\bar{T}_0 = \frac{\gamma A \cos \psi}{C_b} \tan \varphi + \frac{\gamma}{\xi} U^2 \quad \left(R_H = \frac{A}{C_b} \right)$

$$\rightarrow \gamma R_H \cos \psi \tan \varphi + \frac{\gamma}{\xi} U^2 = \gamma R_H \sin \psi$$

quindi
$$U = \sqrt{\xi R_H (\sin \psi - \cos \psi \tan \varphi)}$$

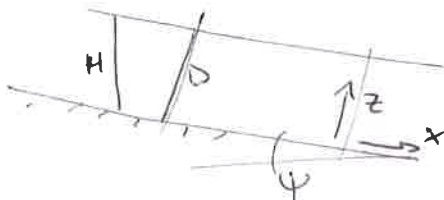
La condizione di arresto $U=0$ è $\tan \psi = \tan \varphi$
ed il coeff di Chézy varia sperimentalmente

$$\xi \approx 400 \div 1800 \frac{m}{s^2} \quad \text{con } 20 < \chi < 62$$

MODELLO VÖLLMY-SALM

APPROCCI [scorrimento a FLUIDO CONTINUO
arresto a CORPO RIGIDO

• tutto di impegno



$$\text{spessore neve } D = H \cos \varphi$$

$\sim h^*$

con
 $z = 2000 \text{ m}$
 $\varphi = 28^\circ$

si fa riferimento alla neve caduta per 3 giorni consecutivi

$$h^* = \Delta H_{3gg} \cdot \cos(28^\circ) \quad \text{quindi } \Delta H_{3gg} = f(\vec{x}, T_R)$$

fattori:

- inclinazione pendio, maggiore $\varphi \rightarrow$ minore ~~h~~ h .

$$f_1(\varphi) = \frac{0,281}{\sin \varphi - 0,202 \cdot \cos \varphi}$$

- quota, maggiore $z \rightarrow$ maggiore h .

$$f_2(z) = 0,05 \frac{(2000 - z)}{100}$$

$$\Rightarrow h_o = (h^* + f_2(z)) f_1(\varphi) + \delta_{wind} \cdot f_1(\varphi) \quad \text{torrente iniziale del distacco}$$

* Velocità di VERSANTE $\frac{B_o}{h_o} > 20$

$$U_o = \sqrt{\xi_o h_o (\sin \psi_o - \cos \psi_o \tan \varphi)} \rightarrow Q_o = h_o U_o B_o = \text{costante}$$

$$\text{con } h_s = \frac{Q_o}{B_o U_s} \quad \text{si ha } U_s = \left[\xi_s \frac{Q_o}{B_o h_s} (\sin \psi_s - \cos \psi_s \tan \varphi) \right]^{1/2}$$

$$\Rightarrow U_s = \left[\xi_s \frac{Q_o}{B_o} (\sin \psi_s - \cos \psi_s \tan \varphi) \right]^{1/2}$$

(nel tratto di scorrimento
con pedice "s")

* valanga ~~secca~~ INCANALATA $\frac{B_0}{h_0} < 20$

$$U_0 = \sqrt{\xi_0 h_0 (\sin \psi_0 - \cos \psi_0 \tan \varphi)} \rightarrow Q_0 = \frac{A_0 h_0 U_0}{L_0}$$

~~così bisognerebbe~~ com $Q_0 = U_0 A_s(h)$ sistema non-lineare

infatti: $R_H = \frac{A_s(h)}{C_b}$

$$U_s = \left[\xi_s R_H (\sin \psi_s - \cos \psi_s \tan \varphi) \right]^{1/2}$$

quindi in maniera implicita la portata è

$$Q_s = \left[\xi_s R_H(h) (\sin \psi_s - \cos \psi_s \tan \varphi) \right]^{1/2} A_s(h)$$

• Zone di arresto

punto P di arresto com $\tan \psi_p = \tan \varphi$ (da c a P)

a valle di P: $U=0 \quad \psi_p < \varphi$

a monte di P: tratto di controllo $\psi_{cp} \geq \varphi + \zeta^\circ$

CASO A: cresce molto $\psi_{cp} \geq \varphi + \zeta^\circ$

$$h_{cp} = \frac{Q_0}{U_{cp} B_0}$$

$$\left[U_{cp} = \left\{ \xi_{cp} \frac{Q_0}{B_0} (\sin \psi - \cos \psi \tan \varphi) \right\}^{1/3} \right] \text{ di versante}$$

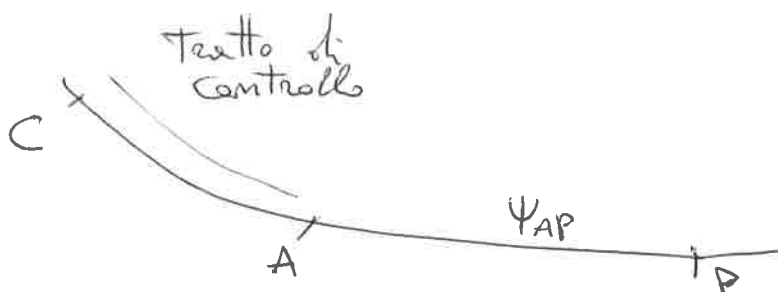
$$\left[U_{cp} = \left\{ \xi_s R_H (\sin \psi - \cos \psi \tan \varphi) \right\}^{1/2} \right] \text{ incanalato}$$

$x_c = \overline{CP} = 0,7 \frac{\xi_{cp}}{g} h_{cp}$ distanza di arresto.

CASO B: cresce poco $\psi_{cp} < \varphi + \zeta^\circ$

individue A (a monte di P) tale che $\psi_{AP} = \varphi + 3,5^\circ$

individue C (a monte di A) con tratto di controllo \overline{CA} .



La distanza di arresto (entrambi i casi)

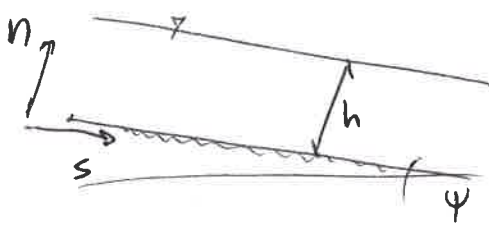
$$X = \frac{hd \xi}{2g} \ln \left[1 - \frac{U_{cp}^2}{U_{p0}^2} \right] \quad \text{con } hd = h_{cp} + \frac{U_{cp}^2}{9.81 g}$$

dato che a valle di P

$$U_{p0}^2 = [\xi hd (\sin \psi_0 - \cos \psi_0 \tan \phi)] < 0$$

$$\text{allora } \ln \left[1 - \frac{U_{cp}^2}{U_{p0}^2} \right] > 0$$

MODELLO AVAL-1D RAMMS 2D



$$\left\{ \begin{array}{l} \frac{\partial}{\partial t} (\rho h) + \frac{\partial}{\partial s} (\rho v h) = 0 \\ \frac{\partial}{\partial t} (\rho v h) + \frac{\partial}{\partial s} (\rho v^2 h) = -\frac{\partial P}{\partial s} + \rho g h \sin \psi - T_0 \\ T_0 = \rho g h \cos \psi \cdot \tan \psi + \rho g \frac{v^2}{2} \end{array} \right.$$

spinta $P = \int_0^h t_{ss} dn = \int_0^h \left(\rho g \cos \psi (h-n) \cdot \tan^2 \left(45^\circ + \frac{\psi}{2} \right) \right) dn$

coeff. spinta attiva/pessiva

$$P = \rho g \cos \psi \cdot \rho_{ap} \frac{h^2}{2}$$

equazione bilancio del moto

$$\frac{\partial}{\partial t} (\rho v h) + \frac{\partial}{\partial s} \left(\rho v^2 h + \rho g \cdot \rho_{ap} \cos \psi \frac{h^2}{2} \right) = \rho g \left[h \sin \psi - h \cos \psi \tan \psi + \frac{v^2}{2} \right]$$

diviso $\rho = \text{costante}$

$$\frac{\partial}{\partial t} (vh) + \frac{\partial}{\partial s} \left(v^2 h + g \cdot \rho_{ap} \cos \psi \frac{h^2}{2} \right) = g \left[h \sin \psi - h \cos \psi \tan \psi + \frac{v^2}{2} \right]$$

→ forme matriciali bilanci

$$\frac{\partial}{\partial t} \begin{vmatrix} h \\ vh \end{vmatrix} + \frac{\partial}{\partial s} \begin{vmatrix} vh \\ v^2 h + g \rho_{ap} \cos \psi \frac{h^2}{2} \end{vmatrix} = \begin{vmatrix} 0 \\ g \left[h(\sin \psi - \cos \psi \tan \psi) + \frac{v^2}{2} \right] \end{vmatrix}$$

→ forma rettangolare

forme quasi lineare omogenee

$$\frac{\partial}{\partial t} U + \frac{\partial}{\partial s} F = S \quad \Rightarrow \quad \frac{\partial U}{\partial t} + \boxed{\frac{\partial F}{\partial U}} \frac{\partial U}{\partial s} = 0$$

Lmatrice Jacobiana

forme
indicele

$$\left\{ \begin{array}{l} \frac{\partial U_1}{\partial t} + \frac{\partial F_1}{\partial U_1} \frac{\partial U_1}{\partial s} + \frac{\partial F_1}{\partial U_2} \frac{\partial U_2}{\partial s} = 0 \\ \frac{\partial U_2}{\partial t} + \frac{\partial F_2}{\partial U_1} \frac{\partial U_1}{\partial s} + \frac{\partial F_2}{\partial U_2} \frac{\partial U_2}{\partial s} = 0 \end{array} \right.$$

se $U = \begin{vmatrix} h \\ vh \end{vmatrix} = \begin{vmatrix} U_1 \\ U_2 \end{vmatrix}$ allora $F = \begin{vmatrix} vh \\ v^2 h + g \rho_{ap} \cos \psi \frac{h^2}{2} \end{vmatrix} = \begin{vmatrix} U_2 \\ \frac{U_2^2}{U_1} + g \rho_{ap} \cos \psi \frac{U_1^2}{2} \end{vmatrix} = \begin{vmatrix} U_2 \\ U_2 \end{vmatrix}$

quindi $\frac{\partial F}{\partial U} = \begin{vmatrix} \frac{\partial F_1}{\partial U_1} & \frac{\partial F_1}{\partial U_2} \\ \frac{\partial F_2}{\partial U_1} & \frac{\partial F_2}{\partial U_2} \end{vmatrix} = \begin{vmatrix} 0 & 1 \\ -\frac{U_2^2}{U_1} + g p_{0,p} \cos \psi U_1 & 2 \frac{U_2}{U_1} \end{vmatrix}$

Per trovare le caratteristiche si applica $\det \left[\frac{\partial F}{\partial U} - \lambda I \right] = 0$

$$\det \begin{vmatrix} -\lambda & 1 \\ -\frac{U_2^2}{U_1} + g p_{0,p} \cos \psi U_1 & 2 \frac{U_2}{U_1} - \lambda \end{vmatrix} = 0$$

$$\Rightarrow \text{polinomio } -\lambda \left(2 \frac{U_2}{U_1} - \lambda \right) - \left(g p_{0,p} \cos \psi U_1 - \frac{U_2^2}{U_1} \right) = 0$$

ritornando alle variabili primitive con v, h si ha

$$\lambda^2 - 2 \lambda \frac{U_2}{U_1} - g p_{0,p} \cos \psi h + V^2 = 0$$

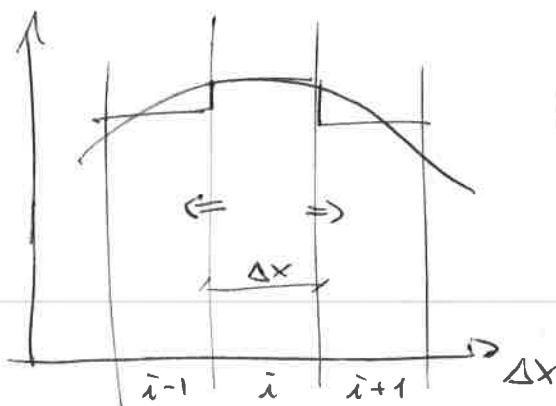
soluzioni $\lambda_{1,2} = v \pm \sqrt{g p_{0,p} \cos \psi h}$

Sono le caratteristiche del moto

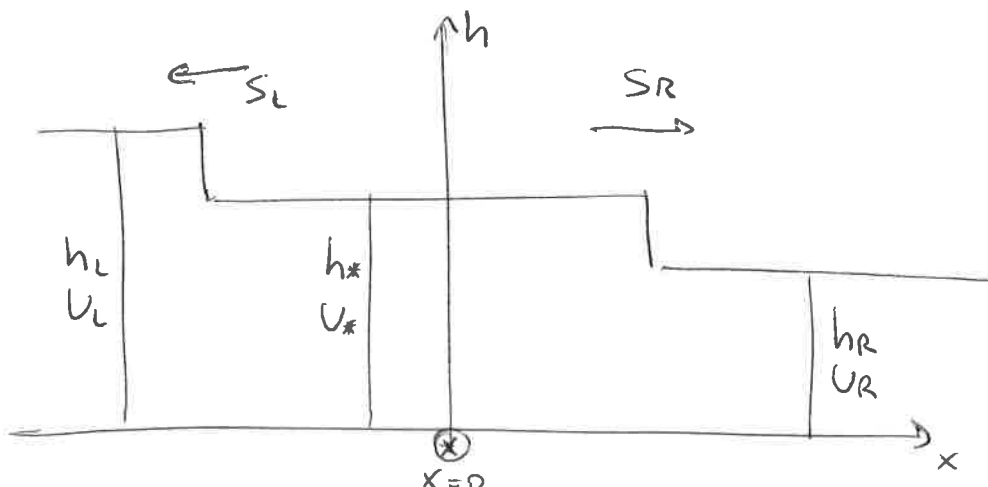
\rightsquigarrow METODO DI GODUNOV con problema di Riemann
integrazione numerica per la discretizzazione in Δx
metodo ai volumi finiti con soluzione

$$U_i^{n+1} = U_i^n - \left[F_{i+\frac{1}{2}}^n - F_{i-\frac{1}{2}}^n \right] \frac{\Delta t}{\Delta x} + S^n \Delta t$$

\Rightarrow calcolo dei flussi F_i^n alla transizione del Δx (uniche incognite).



ipotesi: 2 onde di shock contrarie con solutore HLL.



Nell'origine \otimes si ha sempre la soluzione costante
 noti: U_R, U_L, F_L, F_R ; incognite: U_*, F_* , S_L, S_R
 si applicano 2 bilanci per onda (= 2 equazioni)

$$\left\{ \begin{array}{l} F_* - F_L = S_L (U_* - U_L) \\ F_R - F_* = S_R (U_R - U_*) \end{array} \right. \quad \begin{array}{l} 2 \text{ equazioni Rankine} \\ 2 \text{ equazioni Rankine} \end{array}$$

$$\Rightarrow \text{stima di } S_L \text{ e } S_R \text{ con autoveloci} \quad \lambda_{1,2} = U \pm \sqrt{gh \cos \psi}$$

quindi $\left\{ \begin{array}{l} \lambda_{1,2}^L = U_L \pm \sqrt{g h_L \cos \psi} \\ \lambda_{1,2}^R = U_R \pm \sqrt{g h_R \cos \psi} \end{array} \right. \Rightarrow \left\{ \begin{array}{l} S_L = \min(\lambda_1^L, \lambda_2^L) \text{ lente} \\ S_R = \max(\lambda_1^R, \lambda_2^R) \text{ veloci} \end{array} \right.$

$$\hookrightarrow \text{si trova } U_* = U_R - \frac{F_R - F_*}{S_R} \text{ nell'onda di destra}$$

nell'onda di
sinistra

~~$F_L - S_L U_R + S_L (F_R) - S_R U_L$~~

$$F_* - F_L = S_L U_R - \frac{S_L}{S_R} (F_R - F_*) - S_L U_L$$

$$\Rightarrow F_* = \frac{S_R F_L - S_L F_R + S_L S_R (U_R - U_L)}{S_R - S_L}$$

$$\text{se } \begin{cases} S_L < 0 \\ S_R > 0 \end{cases}$$

ma $\begin{cases} \text{se } S_L, S_R > 0 & \overline{F}^{HU} \rightarrow F_L \\ \text{se } S_L, S_R < 0 & \overline{F}^{HLL} \rightarrow F_R \end{cases}$

Il flusso è $\overline{F}^{HLL} \begin{cases} F_* & \text{se } S_L < 0 \text{ e } S_R > 0 \\ F_L & \text{se } S_L, S_R > 0 \\ F_R & \text{se } S_L, S_R < 0 \end{cases}$

e la soluzione del problema di Riemann trova

$$U_i^{n+1} = U_i^n - \left(\overline{F}_{i+\frac{1}{2}}^{HLL} - \overline{F}_{i-\frac{1}{2}}^{HU} \right) \frac{\Delta x}{\Delta t} + S \Delta t$$

